

# 応用複素関数レポート課題3

桂田 祐史

2024年7月8日,2024年7月9日

## 目次

1	課題3	1
2	×切, 提出の仕方, 参考情報など	1
3	注意 (必ず読むこと)	3
4	FAQ (よくされる質問)	3
5	サンプルプログラム potential2d-v-2024.edp 解説	4
6	流線を描くために: 流れ関数 $\psi$ を求める	5
A	サンプル・プログラム解説	5
	A.1 一様流のプログラム sample0.edp	5
	A.2 sample1.edp, sample2.edp	7

## 1 課題3

2次元非圧縮ポテンシャル流の定常流で、流体の占める領域  $\Omega$  と、その境界  $\Gamma = \partial\Omega$  での流速の法線成分  $V_n := \mathbf{v} \cdot \mathbf{n}$  が分かっている場合に、速度ポテンシャル  $\phi$  を計算して、等ポテンシャル線と速度場を可視化せよ。

領域  $\Omega$  としては、円盤領域以外のものを選ぶこと。境界値 (流速の法線成分)  $V_n$  も自分で興味のあるもの、自分の都合の良いものを選んで良い (後の注意を読んでおくこと)。

以下でサンプル・プログラムを紹介する。それを理解した上で、領域  $\Omega$  と境界データ  $V_n$  を自分が決めたもの書き換えれば良い。自由度は高いので、工夫・遊び心発揮を期待する。

もし出来れば、流線も可視化せよ。流線の書き方には色々なやり方があるが、流れ関数を求めるやり方を勧めておく (それを求めるにもポテンシャル問題が使えたりするので)。

## 2 ×切, 提出の仕方, 参考情報など

- ×切は7月31日 (水曜) 22:00 です (注: 定期試験は7/29(月) に終了する予定)。
- 提出方法: Oh-o! Meiji に A4 サイズの PDF で提出して下さい。  
容量制限 (1 ファイル 30MB) に引っかかった場合は、複数のファイルに分割するなど工夫して下さい。

- 使用するプログラミング言語は、自分の MacBook で実行して見せることが可能なものであればなんでも可。  
(と言っていますが、実際には FreeFem++ となるでしょう。FreeFem++ に関する質問は気軽にして下さい。)
- プログラムとその実行結果、実行するための情報を含めること。プログラムは別ファイルにしても良いです (こちらが調べやすいので)。
- FreeFem++ の使い方については、
  - FreeFEM-documentation.pdf (公式ドキュメント)  
<https://doc.freefem.org/pdf/FreeFEM-documentation.pdf>  
(本当は Mac の中にあるのですが、FreeFem++ のバージョンによって場所が違うので…<sup>1</sup>)
  - 「FreeFem++ の紹介」桂田が書いた紹介文書  
<https://m-katsurada.sakura.ne.jp/lab/text/welcome-to-freefem/>
  - 「FreeFem++ ノート」桂田が書いた文法メモ  
<https://m-katsurada.sakura.ne.jp/lab/text/freefem-note/>
- サンプル・プログラムを用意しました。入手法をまとめて示しておきます。

```
curl -O https://m-katsurada.sakura.ne.jp/program/fem/poisson-kikuchi.edp
curl -O https://m-katsurada.sakura.ne.jp/complex2/potential2d-v-2024.edp
curl -O https://m-katsurada.sakura.ne.jp/complex2/sample0.edp
curl -O https://m-katsurada.sakura.ne.jp/complex2/sample1.edp
curl -O https://m-katsurada.sakura.ne.jp/complex2/sample2.edp
```

poisson-kikuchi.edp は、正方形領域における Poisson 方程式の境界値問題を解くプログラムで、すでに紹介済みです。これについては、「FreeFem++ で菊地 [1] の Poisson 方程式の例題を解く」を見て下さい。多角形領域の扱い方が分かるはずですが。

それ以外の potential2d-v-2024.edp, sample0.edp, sample1.edp, sample2.edp は、円盤領域で

$$(1a) \quad \Delta\phi = 0 \quad (\text{in } \Omega)$$

$$(1b) \quad \frac{\partial\phi}{\partial\mathbf{n}} = V_n \quad (\text{on } \partial\Omega)$$

を解くプログラムです。中身はほとんど同じですが、境界条件の設定の仕方が違います。

弱形式は、すでに説明したように

$$\iint_{\Omega} (\phi_x v_x + \phi_y v_y) dx dy = \int_{\partial\Omega} V_n v d\sigma \quad (\text{任意の試験関数 } v \text{ に対して}).$$

この左辺は FreeFem++ のプログラム中では、int2d(Th)(dx(phi)\*dx(v)+dy(phi)\*dy(v)) のようにすれば良いですが、右辺は少し工夫が必要です (FreeFem++ の機能が今ひとつのためです)。

<sup>1</sup>— 応 find /Applications/FreeFem++.app -name FreeFEM-documentation.pdf -print で表示されますが…

### 3 注意 (必ず読むこと)

次の (1) が非常に重要である。例年それを間違えてナンセンスなレポートを提出する人が少なくない。

- (1)  $V_n$  は  $\int_{\partial\Omega} V_n d\sigma = 0$  を満たしている必要がある。実際、 $\frac{\partial\phi}{\partial n}$  の定義と Gauss の発散定理から

$$\int_{\partial\Omega} V_n d\sigma = \int_{\partial\Omega} \frac{\partial\phi}{\partial n} d\sigma = \int_{\partial\Omega} \text{grad } \phi \cdot \mathbf{n} d\sigma = \int_{\Omega} \text{div grad } \phi d\mathbf{x} = \int_{\Omega} \Delta\phi d\mathbf{x} = \int_{\Omega} 0 d\mathbf{x} = 0.$$

非圧縮流 ( $\text{div } \mathbf{v} = 0$ ) の速度場  $\mathbf{v}$  が分かっている場合に、 $V_n = \mathbf{v} \cdot \mathbf{n}$  と置いた場合は、この条件は必ず成り立っている ( $\int_{\partial\Omega} V_n d\sigma = \int_{\partial\Omega} \mathbf{v} \cdot \mathbf{n} d\sigma = \int_{\Omega} \text{div } \mathbf{v} d\mathbf{x} = \int_{\Omega} 0 d\mathbf{x} = 0$ )。

そうでない場合には、 $\int_{\partial\Omega} V_n d\sigma = 0$  が成り立つように、注意深く  $V_n$  を選ぶ必要がある。

過去の例では、円を楕円にするような (一見) 安直な選択をしたレポートが多かった、 $\mathbf{n}$  が意外と簡単ではないので (おおぜい間違えました)、注意すること。

- (2) 湧き出しや吸い込み、点渦など、特異点が  $\Omega$  内にあるような問題 (レポート課題 2 のテーマであったとも言える) は、この方法では解くことが出来ない。

### 4 FAQ (よくされる質問)

「境界値  $V_n$  を場合分けを含む関数としたいが、FreeFem++ がプログラムを受け付けてくれません。どうすればいいですか？」

(FreeFem++ ってしょうがないですね…) 例えば以下の 2 つの解決策があります。

- (a) 弱形式には複数の `int1d()` が指定できるので、境界を分割して、その部分ごとに (場合分けを含まない) 境界値を与えるようにプログラムを書く。
- (b) 例えば `(x>1 && y>0)` のような式は、条件が成り立つならば 1, 成り立たないならば 0 という値を持つので、`if` を使わずに、式だけで場合分けを含む関数が記述できる。

次のサンプル・プログラムでは、(b) を用いていますが、ある程度以上複雑になった場合は、私のおすすめは (a) です。付録の `sample1.edp` を見て下さい。

## 5 サンプルプログラム potential2d-v-2024.edp 解説

potential2d-v-2024.edp

```
1 // potential2d-v-2024.edp
2 // curl -O https://m-katsurada.sakura.ne.jp/complex2/potential2d-v-2024.edp
3 // 2次元非圧縮ポテンシャル流
4 // 速度ポテンシャル, 速度を求め、等ポテンシャル線, 速度場を描く
5
6 border Gamma(t=0,2*pi) { x = cos(t); y = sin(t); } // 円盤領域
7 int m=40;
8 mesh Th=buildmesh(Gamma(m));
9 plot(Th, wait=1, ps="Th.eps");
10 // 次の2行は区分1次多項式を使うという意味
11 fespace Vh(Th,P1);
12 Vh phi, v;
13 // 境界条件の設定 右上と左下のみ Vn=x+2y (これは確かに  $\int V_n d\sigma=0$  を満たす)
14 func Vn=((x>0&&y>0) || (x<0&&y<0))*(x+2*y);
15
16 // 速度ポテンシャルφを求める
17 solve Laplace(phi,v) =
18   int2d(Th)(dx(phi)*dx(v)+dy(phi)*dy(v)) -int1d(Th,Gamma)(Vn*v);
19
20 // 平均を0にする (解の一意性がないため、時々生じる大きなズレを消す)
21 real meanphi = int2d(Th)(phi)/Th.area; // Th.area は int2d(Th)(1); でも計算可能
22 phi = phi - meanphi;
23
24 // φの等高線 (等ポテンシャル線) を描く
25 plot(phi,ps="contourpotential.eps",wait=1);
26
27 // ベクトル場 (v1,v2)=∇φ を描く (ちょっと雑なやり方)
28 Vh v1, v2;
29 v1=dx(phi); v2=dy(phi);
30 plot([v1,v2],ps="vectorfield.eps",wait=1);
31
32 // 等ポテンシャル線とベクトル場を同時に描く
33 plot([v1,v2],phi,ps="both.eps", wait=1);
```

- 6行目で領域  $\Omega$  の境界  $\Gamma := \partial\Omega$  を指定している (それで  $\Omega$  が決まる)。
- 8行目で、 $\Gamma$  を  $m$  分割して、 $\Gamma$  の囲む範囲を三角形分割して、それを mesh 型の変数 Th に代入している。
- 11行目、有限要素空間  $V_h$  を区分的1次関数の空間と定義している。この辺についてはこの講義では説明を省略する (知りたい人は有限要素法のテキストを読んで下さい)。
- 12行目、 $\phi$  と試験関数  $v$  を  $V_h$  の要素とする。
- 14行目、境界値  $V_n$  の設定をしている。ここでは

$$V_n(x, y) = \begin{cases} x + 2y & ((x > 0 \text{ かつ } y > 0) \text{ または } (x < 0 \text{ かつ } y < 0) \text{ のとき}) \\ 0 & (\text{それ以外}) \end{cases}$$

としている。(後の例 sample0.edp では  $V_n(x, y) = x + 2y = \begin{pmatrix} 1 \\ 2 \end{pmatrix} \cdot \mathbf{n}$  としていて、これは  $\mathbf{v} = \begin{pmatrix} 1 \\ 2 \end{pmatrix}$  という一様流となる。) これは確かに  $\int_{\partial\Omega} V_n d\sigma = 0$  を満たしている。

- 17~18行目、弱形式の定義。

- 21～22行目、Neumann 境界値問題は定数だけの不定性を持つため ( $\phi$  が解ならば  $\phi + \text{定数}$  も解)、時々大きなズレが生じ、解の描画などで問題が生じる。平均値  $\frac{\iint_{\Omega} \phi(x, y) dx dy}{\iint_{\Omega} dx dy}$  を引くことで、平均 = 0 にしておく。

## 6 流線を描くために: 流れ関数 $\psi$ を求める

これは少し難しいので、レポートの必要条件とはしない。しかし流線があると流れの様子がよく分かるので、描く価値は高い。以下は頑張ろうという人向けのヒントである。講義で

$$\psi(\mathbf{x}) = \int_{C_{\mathbf{x}}} \psi_x dx + \psi_y dy = \int_{C_{\mathbf{x}}} \begin{pmatrix} -v \\ u \end{pmatrix} \cdot d\mathbf{r} = \int_{C_{\mathbf{x}}} \begin{pmatrix} -v \\ u \end{pmatrix} \cdot \mathbf{t} ds \quad (\mathbf{x} \in \bar{\Omega})$$

という式を紹介した ( $C_{\mathbf{x}}$  は定点  $\mathbf{a}$  と  $\mathbf{x}$  を結ぶ曲線)。領域が Jordan 領域 (1つの単純閉曲線で囲まれた領域) であれば、 $\mathbf{x}$  が境界上の点である場合、定点  $\mathbf{a}$  と  $C_{\mathbf{x}}$  を境界上を選ぶことで、 $\begin{pmatrix} -v \\ u \end{pmatrix} \cdot \mathbf{t} = \mathbf{v} \cdot \mathbf{n}$ 。また境界上での  $\mathbf{v} \cdot \mathbf{n} = V_n$  は知っているかと仮定しているので)

$$\psi(\mathbf{x}) = \int_{C_{\mathbf{x}}} \mathbf{v} \cdot \mathbf{n} ds = \int_{C_{\mathbf{x}}} V_n ds \quad (\mathbf{x} \in \partial\Omega).$$

これから、境界上の点  $\mathbf{x}$  における  $\psi$  の値  $g(\mathbf{x}) := \psi(\mathbf{x})$  ( $\mathbf{x} \in \partial\Omega$ ) が得られる。それを用いて

$$\Delta\psi = 0 \quad (\text{in } \Omega), \quad \psi(\mathbf{x}) = g(\mathbf{x}) \quad (\text{on } \partial\Omega)$$

という Laplace 方程式の Dirichlet 境界値問題を解くことで流れ関数  $\psi$  が得られる。

## A サンプル・プログラム解説

以下すべて単位円盤領域において

$$\Delta\phi = 0 \quad \text{in } \Omega, \quad \frac{\partial\phi}{\partial n} = V_n \quad \text{on } \partial\Omega$$

を解くプログラムである。境界条件の指定の部分が違っている。

### A.1 一様流のプログラム sample0.edp

サンプルプログラム sample0.edp では、単位円盤領域  $\Omega = \{(x, y) \in \mathbb{R}^2 \mid x^2 + y^2 < 1\}$  における一様流  $\mathbf{v} = \begin{pmatrix} 1 \\ 2 \end{pmatrix}$  の場合のプログラムである。単位円盤なので  $\mathbf{n} = \begin{pmatrix} x \\ y \end{pmatrix}$  (ここは良く考えること。例えば楕円の場合は  $\mathbf{n}$  はかなり複雑な式になる。)。これから

$$V_n = \mathbf{v} \cdot \mathbf{n} = \begin{pmatrix} 1 \\ 2 \end{pmatrix} \cdot \begin{pmatrix} x \\ y \end{pmatrix} = x + 2y.$$

プログラムでは、func Vn=x+2\*y; で Vn を定義して、弱形式中で int1d(Th, Gamma)(Vn\*v) と使っている。

( $v$  が  $\Omega$  で定数関数なので)  $\operatorname{div} v = 0$  であるから、当然  $\int_{\Gamma} V_n d\sigma = 0$  も成り立つ。

— sample0.edp —

```
// sample0.edp
// https://m-katsurada.sakura.ne.jp/complex2/sample0.edp
// 2次元非圧縮ポテンシャル流
// 速度ポテンシャル, 速度を求め、等ポテンシャル線, 速度場を描く

border Gamma(t=0,2*pi) { x = cos(t); y = sin(t); } // 円盤領域
int m=60;
mesh Th=buildmesh(Gamma(m));
plot(Th, wait=1, ps="Th.eps");
// 次の2行は区分1次多項式を使うという意味
fespace Vh(Th,P1);
Vh phi, v, v1, v2;
// 境界条件の設定
func Vn=x+2*y;//  $\Omega$ が単位円で、 $V=(1,2)$  のとき  $V \cdot n=x+2y$ 

// 速度ポテンシャル $\phi$ を求め、その等高線(等ポテンシャル線)を描く
solve Laplace(phi,v) =
  int2d(Th)(dx(phi)*dx(v)+dy(phi)*dy(v)) -int1d(Th,Gamma)(Vn*v);

real meanphi=int2d(Th)(phi)/Th.area;
phi=phi-meanphi;
plot(phi,ps="contourpotential.eps",wait=1);

// ベクトル場  $(v1,v2)=\nabla\phi$  を描く(ちょっと雑なやり方)
v1=dx(phi); v2=dy(phi);
plot([v1,v2],ps="vectorfield.eps",wait=1);

// 等ポテンシャル線とベクトル場を同時に描く
plot([v1,v2],phi,ps="both.eps", wait=1);
```

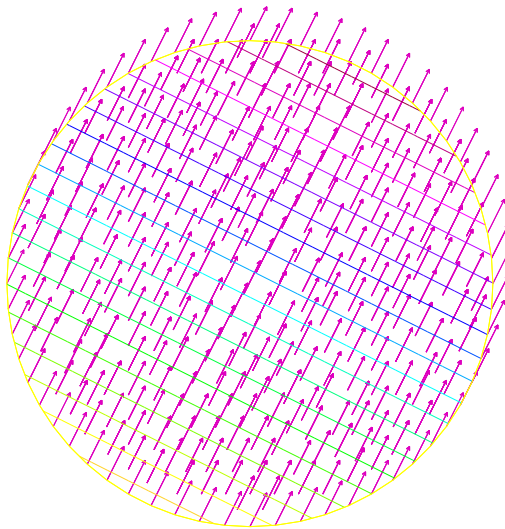


図 1: 一様流 (sample0.edp)

## A.2 sample1.edp, sample2.edp

単位円盤領域の境界である単位円周上で、 $0 \leq \theta \leq \pi/6$ ,  $\pi/6 \leq \theta \leq \pi$ ,  $\pi \leq \theta \leq 4\pi/3$ ,  $4\pi/3 \leq \theta \leq 2\pi$  の範囲をそれぞれ  $\Gamma_1, \Gamma_2, \Gamma_3, \Gamma_4$  とする。すなわち

$$\begin{aligned}\Gamma_1 &= \{(\cos \theta, \sin \theta) \mid 0 \leq \theta \leq \pi/6\}, \\ \Gamma_2 &= \{(\cos \theta, \sin \theta) \mid \pi/6 \leq \theta \leq \pi\}, \\ \Gamma_3 &= \{(\cos \theta, \sin \theta) \mid \pi \leq \theta \leq 4\pi/3\}, \\ \Gamma_4 &= \{(\cos \theta, \sin \theta) \mid 4\pi/3 \leq \theta \leq 2\pi\}.\end{aligned}$$

境界条件  $\frac{\partial \phi}{\partial n} = V_n$  における  $V_n$  は、次のようになっているとする。

$$V_n = \begin{cases} -2 & (\text{on } \Gamma_1) \\ 0 & (\text{on } \Gamma_2) \\ 1 & (\text{on } \Gamma_3) \\ 0 & (\text{on } \Gamma_4). \end{cases}$$

念のため  $\int_{\partial\Omega} V_n d\sigma = 0$  の確認

$\int_{\gamma} d\sigma = \gamma$  の長さ に注意すると

$$\begin{aligned}\int_{\partial\Omega} V_n d\sigma &= \int_{\Gamma_1} V_n d\sigma + \int_{\Gamma_2} V_n d\sigma + \int_{\Gamma_3} V_n d\sigma + \int_{\Gamma_4} V_n d\sigma \\ &= -2 \int_{\Gamma_1} d\sigma + 0 + 1 \cdot \int_{\Gamma_3} d\sigma + 0 = -2 \cdot \frac{\pi}{6} + 1 \cdot \frac{\pi}{3} = 0.\end{aligned}$$

sample1.edp, sample2.edp はともにこの問題を解くプログラムである。

もしも、プログラム中で  $V_n$  がうまく定義できれば、sample0.edp と同様に

```
solve Laplace(phi, v) =
  int2d(Th) (dx(phi)*dx(v)+dy(phi)*dy(v)) -int1d(Th, Gamma) (Vn*v);
```

というコードが使える。

しかし  $V_n$  を 1 行の関数として定義するのはあまり簡単でない。一応出来なくはなくて、それは後で紹介するが (sample2.edp)、ここでは次のようにすることを勧める。

要点は

$$\int_{\partial\Omega} V_n v d\sigma = \sum_{j=1}^4 \int_{\Gamma_j} V_n v d\sigma = \int_{\Gamma_1} V_n v d\sigma + \int_{\Gamma_3} V_n v d\sigma$$

と分解することである ( $\Gamma_2, \Gamma_4$  では  $V_n = 0$  であるから、 $\int_{\Gamma_j} V_n v d\sigma$  ( $j = 2, 4$ ) は必要ない)。

$\Gamma_1, \Gamma_3$  における  $V_n$  を、それぞれ  $Vn1, Vn3$  と定義すれば

```
solve Laplace(phi, v) =
  int2d(Th) (dx(phi)*dx(v)+dy(phi)*dy(v))
  -int1d(Th, Gamma1) (Vn1*v) -int1d(Th, Gamma3) (Vn3*v);
```

とすれば良い。このためには、もちろんプログラム中で  $\Gamma_1, \Gamma_2, \Gamma_3, \Gamma_4$  を用意する必要がある

が、それは難しくない(境界を4つに分けた正方形領域のプログラム poisson-kikuchi.edp と同様のことをすれば良い)。以上の考察から、次のプログラムが得られる。

— sample1.edp —

```
// sample1.edp
// https://m-katsurada.sakura.ne.jp/complex2/sample1.edp
// 2次元非圧縮ポテンシャル流
// 速度ポテンシャル, 速度を求め、等ポテンシャル線, 速度場を描く

border Gamma1(t=0,pi/6) { x = cos(t); y = sin(t); }
border Gamma2(t=pi/6,pi) { x = cos(t); y = sin(t); }
border Gamma3(t=pi,4*pi/3) { x = cos(t); y = sin(t); }
border Gamma4(t=4*pi/3,2*pi) { x = cos(t); y = sin(t); }
int m=5;
mesh Th=buildmesh(Gamma1(m)+Gamma2(5*m)+Gamma3(2*m)+Gamma4(4*m));
plot(Th, wait=1, ps="Th.eps");
// 次の2行は区分1次多項式を使うという意味
fespace Vh(Th,P1);
Vh phi, v;

// Gamma1, Gamma3 上での Vn
func Vn1 = -2.0;
func Vn3 = 1.0;

// 速度ポテンシャルφを求め、その等高線(等ポテンシャル線)を描く
solve Laplace(phi,v) =
  int2d(Th)(dx(phi)*dx(v)+dy(phi)*dy(v))
  -int1d(Th,Gamma1)(Vn1*v)-int1d(Th,Gamma3)(Vn3*v);

real mean=int2d(Th)(phi)/Th.area; // Th.area は int2d(Th)(1.0)
phi=phi-mean;
plot(phi,ps="contourpotential.eps",wait=1);

// ベクトル場 (v1,v2)=∇φ を描く (ちょっと雑なやり方)
Vh v1, v2;
v1=dx(phi); v2=dy(phi);
plot([v1,v2],ps="vectorfield.eps",wait=1);

// 等ポテンシャル線とベクトル場を同時に描く
plot([v1,v2],phi,ps="both.eps", wait=1);
```

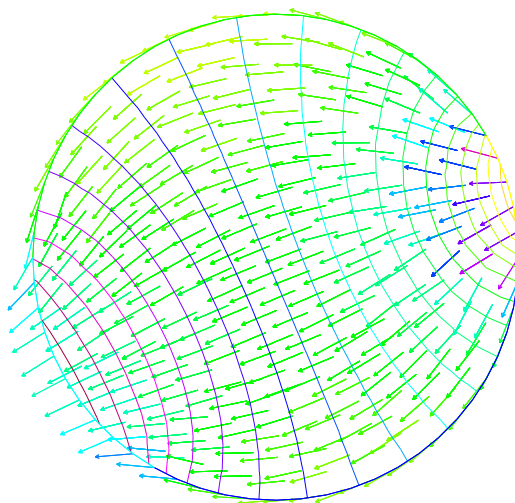


図 2: sample1.edp の結果 ( $\theta \in [0, \pi/6]$  で勢い良く入り、 $\theta \in [\pi, 4\pi/3]$  でゆっくり出て行く)



以下、参考までに、 $V_n$  を1命令(長いので2行になっている)で書いたプログラム sample2.edp を紹介しておく。いわゆる偏角の主値 (値が  $(-\pi, \pi]$  に属する) を返す関数  $\text{atan2}(y, x)$  を使うが、やや不自然な感じがするのは否めない(角度の範囲が  $[0, 2\pi)$  でないことにも注意が必要である)。

—— 強引に1行関数を作る ——

```
func Vn=((atan2(y,x)>=0.0&&atan2(y,x)<=pi/6) * (-2.0)
      + (atan2(y,x)>=-pi&&atan2(y,x)<=-2.0*pi/3.0) * (1.0));
```

—— sample2.edp ——

```
// sample2.edp
// https://m-katsurada.sakura.ne.jp/complex2/sample2.edp
// 2次元非圧縮ポテンシャル流
// 速度ポテンシャル, 速度を求め、等ポテンシャル線, 速度場を描く

border Gamma(t=0,2*pi) { x = cos(t); y = sin(t); } // 円盤領域
int m=60;
mesh Th=buildmesh(Gamma(m));
plot(Th, wait=1, ps="Th.eps");
// 次の2行は区分1次多項式を使うという意味
fespace Vh(Th,P1);
Vh phi, v, v1, v2;
// 境界条件の設定 (atan2(y,x) は [-pi,pi) の範囲の値を返す)
func Vn=((atan2(y,x)>=0.0&&atan2(y,x)<=pi/6) * (-2.0)
      + (atan2(y,x)>=-pi&&atan2(y,x)<=-2.0*pi/3.0) * (1.0));

// 速度ポテンシャルφを求め、その等高線(等ポテンシャル線)を描く
solve Laplace(phi,v) =
  int2d(Th)(dx(phi)*dx(v)+dy(phi)*dy(v)) -int1d(Th,Gamma)(Vn*v);
real meanphi=int2d(Th)(phi)/Th.area;
phi=phi-meanphi;
plot(phi,ps="contourpotential.eps",wait=1);

// ベクトル場 (v1,v2)=∇φ を描く (ちょっと雑なやり方)
v1=dx(phi); v2=dy(phi);
plot([v1,v2],ps="vectorfield.eps",wait=1);

// 等ポテンシャル線とベクトル場を同時に描く
plot([v1,v2],phi,ps="both.eps",wait=1);
```

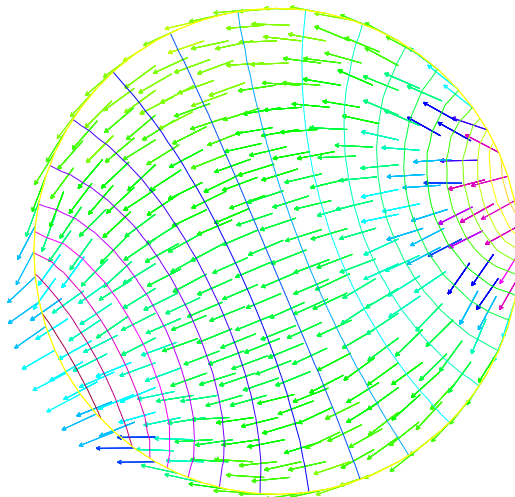


図 3: sample2.edp の結果 ( $\theta \in [0, \pi/6]$  で勢い良く入り、 $\theta \in [\pi, 4\pi/3]$  でゆっくり出て行く)